

## Inhaltsverzeichnis

|          |   |          |
|----------|---|----------|
| <b>1</b> | <b>Einleitung</b>   | <b>2</b> |
| <b>2</b> | <b>Vorbereitungsaufgaben</b>  | <b>2</b> |
| <b>3</b> | <b>Theorie</b>  | <b>2</b> |
| <b>4</b> | <b>Durchführung</b>   | <b>2</b> |
| <b>5</b> | <b>Auswertung</b>   | <b>2</b> |
| 5.1      | Bestimmung der Verdampfungswärme<br>bei Drücken unter einem bar . . . . . | 2        |
| 5.2      | Bestimmung der inneren Verdampfungswärme . . . . .                        | 4        |
| 5.3      | Bestimmung der Temperaturabhängigkeit<br>der Verdampfungswärme . . . . .  | 4        |
| 5.4      | Fehlerrechnung . . . . .  | 8        |
| <b>6</b> | <b>Diskussion</b>   | <b>9</b> |

# 1 Einleitung

# 2 Vorbereitungsaufgaben

# 3 Theorie

# 4 Durchführung

# 5 Auswertung

Im Folgenden sind die während des Versuchs aufgenommenen Messwerte und die aus diesen berechneten Größen tabellarisch dargestellt. An entsprechender Stelle sind Erklärungen zu den zu den Werten und Rechnungen gegeben.

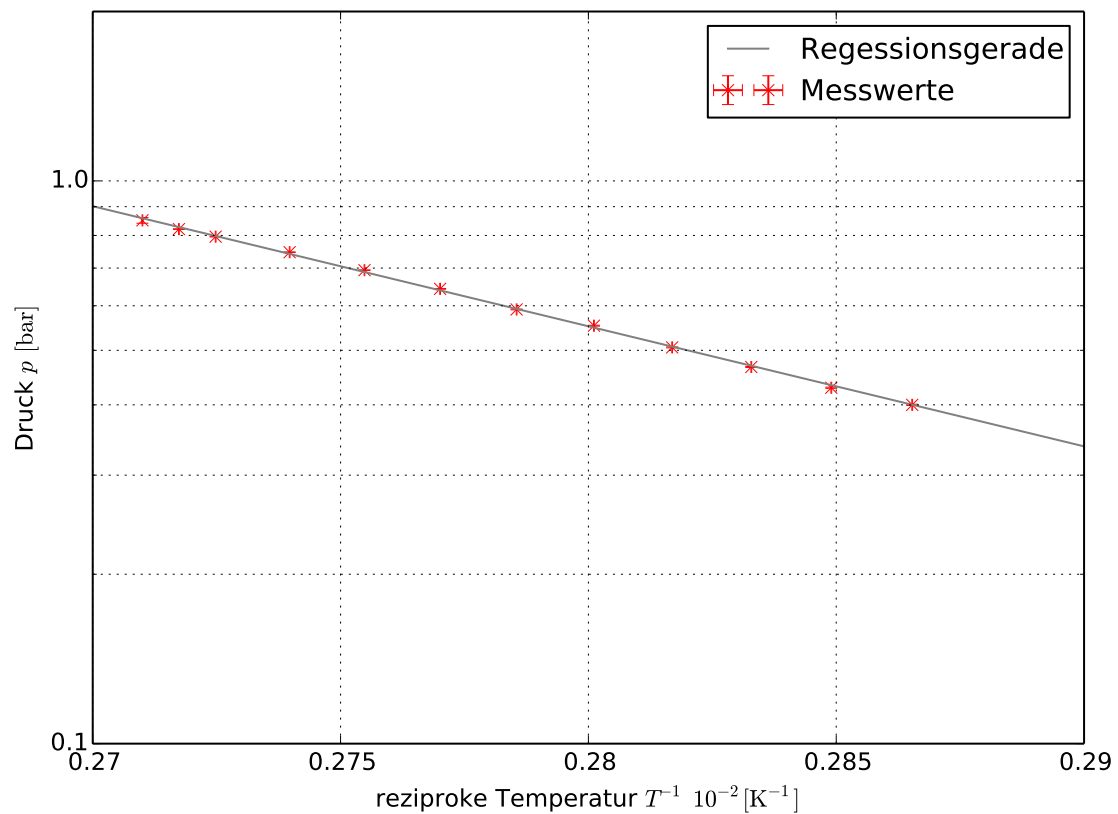
## 5.1 Bestimmung der Verdampfungswärme bei Drücken unter einem bar

In Tabelle 1 sind die, für diese Auswertung verwendeten, Messwerte für Temperatur und Druck dieses Teilversuches zu finden. Dabei sind die angegebenen Messunsicherheiten der Temperaturen durch die Einteilung Skala des Thermometers und die Unsicherheiten der Drücke durch die Anzeigegenauigkeit des verwendeten Barometers bestimmt. Letztere änderte sich im Verlauf des Versuchs, beziehungsweise musste im Verlauf des Versuchs angepasst werden, da sich die Fluktuation der auf dem Barometer angezeigten Messwerte vergrößerte.

| Temperatur<br>$T$ [K] | Druck<br>$p$ [mbar] | Temperatur<br>$T$ [K] | Druck<br>$p$ [mbar] |
|-----------------------|---------------------|-----------------------|---------------------|
| $349 \pm 1$           | $400 \pm 1$         | $361 \pm 1$           | $643 \pm 10$        |
| $351 \pm 1$           | $429 \pm 1$         | $363 \pm 1$           | $694 \pm 10$        |
| $353 \pm 1$           | $467 \pm 1$         | $365 \pm 1$           | $747 \pm 10$        |
| $355 \pm 1$           | $506 \pm 10$        | $367 \pm 1$           | $796 \pm 10$        |
| $357 \pm 1$           | $553 \pm 10$        | $368 \pm 1$           | $821 \pm 10$        |
| $359 \pm 1$           | $591 \pm 10$        | $369 \pm 1$           | $851 \pm 10$        |

**Tabelle 1:** Werte der Messung bei  $p < 1$  bar

Diese Messwerte sind zusammen mit einer Regressionskurve der Form (??) in Abbildung 1 aufgetragen, die wegen der halblogarithmischen Skalierung und der Definition  $x := \frac{1}{T}$  eine Gerade der Form (??) darstellt.



**Abbildung 1:** Halblogarithmische Darstellung der Messwerte mit Regressionsfunktion

Die mit Hilfe der Python Bibliothek *SciPy* [2] bestimmten Parameter der Regerssionsfunktion

$$f(x) = Ax + B \quad (1)$$

sind:

$$A = (-0,0491 \pm 0,0005) \text{ bar K} \quad (1a)$$

$$B = (13 \pm 11) \text{ bar} \quad (1b)$$

Mit der Steigung  $A = -\frac{L}{R}$  und der allgemeinen Gaskonstante  $R = 8,314 \text{ J mol}^{-1} \text{ K}^{-1}$  [2] lässt sich die Verdampfungswärme aus (1a) zu

$$L = (4,09 \pm 0,04) \cdot 10^4 \text{ J mol}^{-1}$$

berechnen.

## 5.2 Bestimmung der inneren Verdampfungswärme

Für die äußere Verdampfungswärme  $L_a$  erhält man unter Verwendung der allgemeinen Gasgleichung (??) und der Annahme  $V_F \ll V_D$  die Näherung

$$L_a = RT. \quad (2)$$

Bei der gegebenen Temperatur  $T = 373 \text{ K}$  ergibt sich damit die notwendige Energie, um das Volumen  $V_F$  auf  $V_D$  zu vergrößern zu

$$L_a = 3101 \text{ J mol}^{-1}.$$

Aus der gesamten  $L$  und äußeren Verdampfungswärme  $L_a$  lässt sich mit (??) die innere Verdampfungswärme bestimmen. Durch Skalierung mit der Avogadro-Konstante  $N_A = 6,022 \cdot 10^{23} \text{ mol}^{-1}$  [2] und Umrechnung in  $\text{eV}^\oplus$ , erhält man die für die Verdampfung eines einzelnen Wassermoleküls benötigte Energie

$$L_i = (0,391 \pm 0,004) \text{ eV}.$$

## 5.3 Bestimmung der Temperaturabhängigkeit der Verdampfungswärme

Die für die folgende Auswertung verwendeten Werte für Druck und Temperatur der zweiten Messung, sind in Tabelle 2 dargestellt.

Diese Messwerte sind zusammen mit einem Regressionspolynoms 3. Grades der Form

$$f(x) = Ax^3 + Bx^2 + Cx + D \quad (3)$$

in Abbildung 2 aufgetragen. Die unter Verwendung von *SciPy* [2] bestimmten Regressionsparameter dieses Polynoms sind:

$$A = (0,97 \pm 0,02) \text{ bar K}^{-3} \quad (3a)$$

$$B = (-1062 \pm 19) \text{ bar K}^{-2} \quad (3b)$$

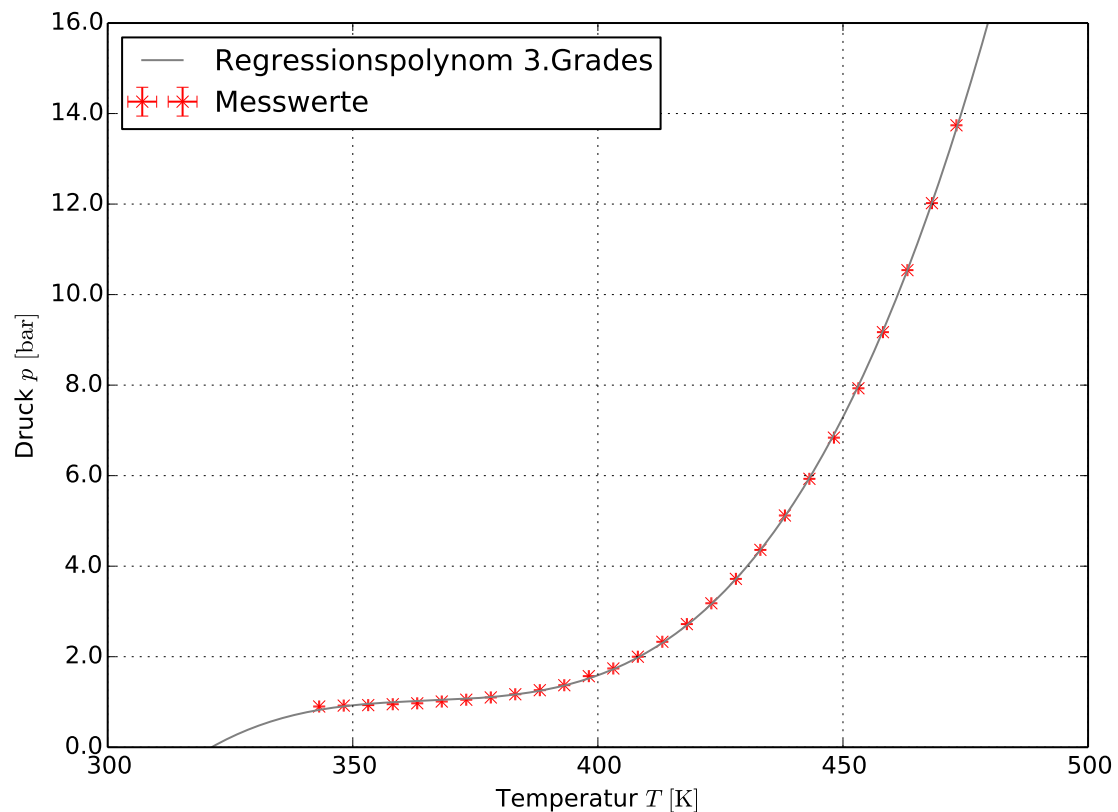
$$C = (3,89 \pm 0,08) \cdot 10^5 \text{ bar K}^{-1} \quad (3c)$$

$$D = (-4,7 \pm 0,1) \text{ bar} \quad (3d)$$

---

<sup>⊕</sup>1 eV =  $1,602 \cdot 10^{-19} \text{ J}$  [2]

| Temperatur<br>$T$ [K] | Druck<br>$p$ [bar] | Temperatur<br>$T$ [K] | Druck<br>$p$ [bar] |
|-----------------------|--------------------|-----------------------|--------------------|
| 343,2 $\pm$ 0,1       | 0,90 $\pm$ 0,01    | 413,2 $\pm$ 0,1       | 2,33 $\pm$ 0,01    |
| 348,2 $\pm$ 0,1       | 0,92 $\pm$ 0,01    | 418,2 $\pm$ 0,1       | 2,72 $\pm$ 0,01    |
| 353,2 $\pm$ 0,1       | 0,93 $\pm$ 0,01    | 423,2 $\pm$ 0,1       | 3,18 $\pm$ 0,01    |
| 358,2 $\pm$ 0,1       | 0,95 $\pm$ 0,01    | 428,2 $\pm$ 0,1       | 3,72 $\pm$ 0,01    |
| 363,2 $\pm$ 0,1       | 0,97 $\pm$ 0,01    | 433,2 $\pm$ 0,1       | 4,36 $\pm$ 0,01    |
| 368,2 $\pm$ 0,1       | 1,01 $\pm$ 0,01    | 438,2 $\pm$ 0,1       | 5,12 $\pm$ 0,01    |
| 373,2 $\pm$ 0,1       | 1,05 $\pm$ 0,01    | 443,2 $\pm$ 0,1       | 5,93 $\pm$ 0,01    |
| 378,2 $\pm$ 0,1       | 1,10 $\pm$ 0,01    | 448,2 $\pm$ 0,1       | 6,84 $\pm$ 0,01    |
| 383,2 $\pm$ 0,1       | 1,17 $\pm$ 0,01    | 453,2 $\pm$ 0,1       | 7,93 $\pm$ 0,01    |
| 388,2 $\pm$ 0,1       | 1,26 $\pm$ 0,01    | 458,2 $\pm$ 0,1       | 9,17 $\pm$ 0,01    |
| 393,2 $\pm$ 0,1       | 1,37 $\pm$ 0,01    | 463,2 $\pm$ 0,1       | 10,54 $\pm$ 0,01   |
| 398,2 $\pm$ 0,1       | 1,57 $\pm$ 0,01    | 468,2 $\pm$ 0,1       | 12,02 $\pm$ 0,01   |
| 403,2 $\pm$ 0,1       | 1,74 $\pm$ 0,01    | 473,2 $\pm$ 0,1       | 13,74 $\pm$ 0,01   |
| 408,2 $\pm$ 0,1       | 2,00 $\pm$ 0,01    |                       |                    |

**Tabelle 2:** Werte der Messung bei  $1 \leq p \leq 15$  bar**Abbildung 2:** Messwerte und Regressionspolynom der Form  $f(x) = Ax^3 + Bx^2 + Cx + D$ 

Zur Berechnung der Temperaturabhängigkeit der Verdampfungswärme  $L$ , unter großen

Drücken und Temperaturen, wird zunächst (??) umgestellt, um die Gleichung

$$L = T \cdot (V_D - V_F) \frac{dp}{dT} \quad (4)$$

zu erhalten. Der in dieser Gleichung auftretende Differentialquotient kann durch Differentiation des Regressionsploysnoms (3) mit den Parametern (3a) bis (3d) zu

$$\frac{dp}{dT} = 3AT^2 + 2BT + C \quad (5)$$

bestimmen werden.

Zur Berechnung des Dampfvolumen  $V_D$  wird mit (??) eine im Vergleich zur allgemeinen Gasgleichung (??) bessere Näherung verwendet. Durch Auflösen dieser Gleichung nach  $V_D$  erhält man Mittels *pq-Formel* und mit der Konstanten  $a = 0,9 \text{ J m}^3 \text{ mol}^{-2}$  **V203** die zwei möglichen Volumina:

$$V_{D_{1,2}} = \frac{RT}{2p} \pm \sqrt{\left(\frac{RT}{2p}\right)^2 - \frac{a}{p}} \quad (6)$$

Die Mittels (6) berechneten Volumina für die Temperaturen und Drücke aus Tabelle 2 sind in Tabelle 3 aufgelistet. Dabei sind für die Volumina keine Fehler angegeben, da diese für das relevante Volumen  $V_{D_2}$  von der Größenordnung  $1 \cdot 10^{-8}$  sind.

| Volumen „+“<br>$V_{D_1} [\text{dm}^3]$ | Volumen „-“<br>$V_{D_2} [\text{dm}^3]$ | Volumen „+“<br>$V_{D_1} [\text{dm}^3]$ | Volumen „-“<br>$V_{D_2} [\text{dm}^3]$ |
|--|--|--|--|
| 31,383                                 | 0,319                                  | 14,476                                 | 0,267                                  |
| 31,150                                 | 0,314                                  | 12,518                                 | 0,264                                  |
| 31,263                                 | 0,310                                  | 10,802                                 | 0,262                                  |
| 31,040                                 | 0,305                                  | 9,310                                  | 0,260                                  |
| 30,827                                 | 0,301                                  | 8,002                                  | 0,258                                  |
| 30,010                                 | 0,297                                  | 6,859                                  | 0,256                                  |
| 29,255                                 | 0,293                                  | 5,959                                  | 0,255                                  |
| 28,294                                 | 0,289                                  | 5,194                                  | 0,253                                  |
| 26,943                                 | 0,286                                  | 4,499                                  | 0,252                                  |
| 25,331                                 | 0,282                                  | 3,903                                  | 0,252                                  |
| 23,582                                 | 0,279                                  | 3,403                                  | 0,251                                  |
| 20,810                                 | 0,276                                  | 2,988                                  | 0,251                                  |
| 18,992                                 | 0,272                                  | 2,612                                  | 0,251                                  |
| 16,698                                 | 0,270                                  |  |  |

**Tabelle 3:** Mögliche Dampfvolumina nach (6)

Daraus ist ersichtlich, dass  $V_{D_1}$  zwar Lösungen der Gleichung (6) sind, jedoch nicht zu dem Verwendeten Versuchsaufbau passen, da der genutzten Stahlbolzen nicht das nötige Volumen hatte um mehrere Liter Wasserdampf zu fassen.

Mit dem Volumen  $V_D := V_{D_2}$ , den Temperaturen Tabelle 2, den entsprechenden Differr-

tialquotienten (5) und der Näherung  $V_F \ll V_D$  erhält man aus (4) die neben den Differentialquotienten in Tabelle 4 dargestellten Werte für die Verdampfungswärme  $L$ .

| Differentialquotient<br>$\frac{dp}{dT}$ [mbar K <sup>-1</sup> ] | Verdampfungswärme<br>$L$ [J mol <sup>-1</sup> ] | Differentialquotient<br>$\frac{dp}{dT}$ [mbar K <sup>-1</sup> ] | Verdampfungswärme<br>$L$ [J mol <sup>-1</sup> ] |
|---|---|---|---|
| 18,8 ± 0,1  | 205 ± 1   | 71,0 ± 0,3  | 783 ± 3   |
| 13,1 ± 0,1  | 142 ± 1   | 85,6 ± 0,3  | 946 ± 4   |
| 8,78 ± 0,07   | 96,0 ± 0,8                                      | 101,7 ± 0,3   | 1128 ± 4  |
| 5,97 ± 0,04   | 65,3 ± 0,4                                      | 119,2 ± 0,4   | 1327 ± 4  |
| 4,61 ± 0,01   | 50,4 ± 0,1                                      | 138,2 ± 0,4   | 1545 ± 5  |
| 4,71 ± 0,02   | 51,4 ± 0,2                                      | 158,7 ± 0,4   | 1782 ± 5  |
| 6,25 ± 0,05   | 68,4 ± 0,5                                      | 180,6 ± 0,5   | 2038 ± 6  |
| 9,26 ± 0,08   | 101,2 ± 0,8                                     | 203,9 ± 0,5   | 2315 ± 6  |
| 13,7 ± 0,1  | 150 ± 1   | 228,8 ± 0,5   | 2615 ± 6  |
| 19,6 ± 0,1  | 215 ± 2   | 255,0 ± 0,5   | 2938 ± 7  |
| 27,0 ± 0,2  | 296 ± 2   | 282,7 ± 0,6   | 3286 ± 7  |
| 35,8 ± 0,2  | 393 ± 2   | 311,9 ± 0,6   | 3660 ± 8  |
| 46,1 ± 0,2  | 506 ± 3   | 342,5 ± 0,6   | 4064 ± 8  |
| 57,8 ± 0,3  | 636 ± 3   |   |   |

**Tabelle 4:** Differentialquotient und Temperaturabhängige Verdampfungswärme

In Abbildung ?? sind die berechneten Verdampfungswärmen aus Tabelle 4 zusammen mit einem Regressionspolynom 2. Grades der Form

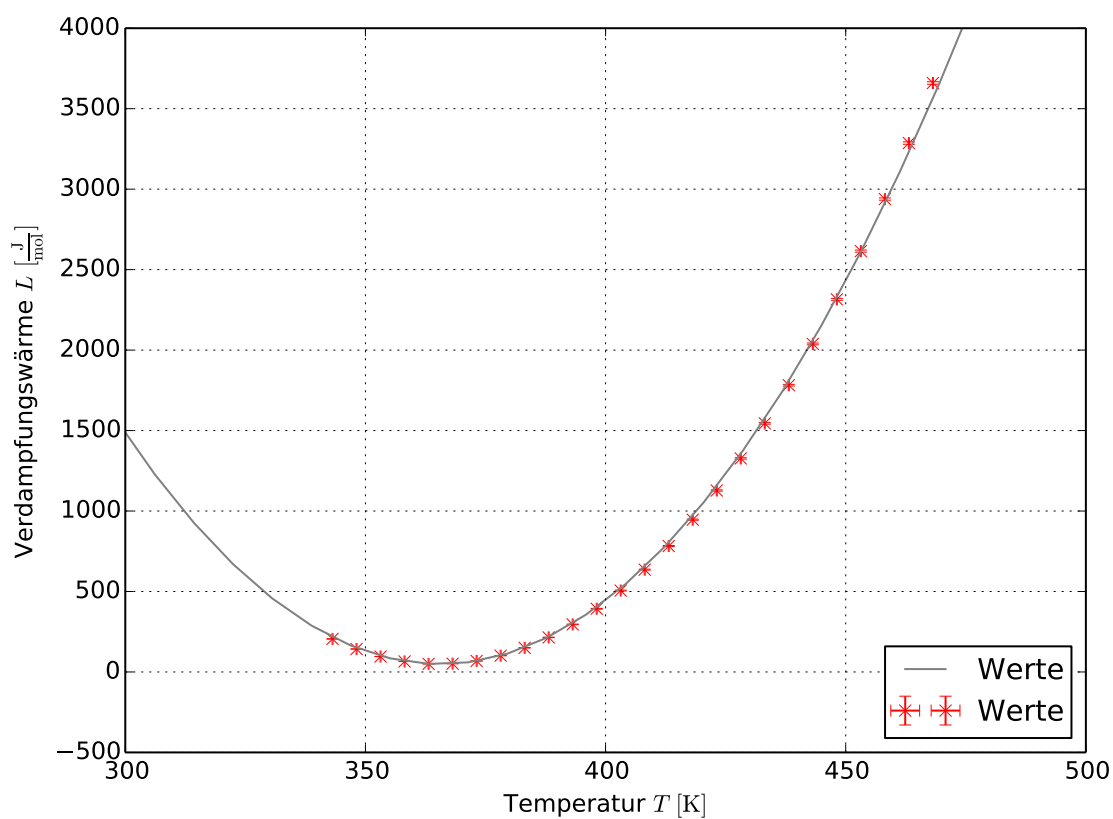
$$f(x) = Ax^2 + Bx + C \quad (7)$$

gegen die Temperaturen aus Tabelle 2 aufgetragen. Die mit SciPy bestimmten Regressionsparameter für dieses Polynom sind:

$$A = (0,334 \pm 0,002) \text{ J mol}^{-1} \text{ K}^{-2} \quad (7a)$$

$$B = (-244 \pm 2) \text{ J mol}^{-1} \text{ K}^{-1} \quad (7b)$$

$$C = (4,47 \pm 0,04) \cdot 10^4 \text{ J mol}^{-1} \quad (7c)$$



## 5.4 Fehlerrechnung



## 6 Diskussion

In diesem Unterabschnitt werden, die durch die Auswertung erhaltenen Größen mit Literaturwerten verglichen, um eine Aussage über deren Richtigkeit machen zu können. Außerdem werden diese Vergleiche noch einmal mit dem Versuchsaufbau und der Versuchsdurchführung in Bezug gesetzt um eventuelle Fehler aufzuzeigen, die etwaig Abweichung der errechneten Größen von der Realität erklären können.

Um die in Unterabschnitt 5.1 bestimmte, gemittelte Verdampfungswärme  $L$  für Drücke  $p < 1$  bar mit dem Literaturwert  $L_{lit} = 2256 \text{ J g}^{-1}$  **Mende09** vergleichen zu können, muss diese mit der Molaren Masse eines Wassermoleküls  $M(\text{H}_2\text{O}) = 18 \text{ g mol}^{-1}$ <sup>②</sup> multipliziert werden, um die Verdampfungswärme pro Gramm mit  $L = (2272 \pm 22) \text{ J g}^{-1}$  zu erhalten. Offensichtlich weicht die aus den Messwerten bestimmte Verdampfungswärme nur wenig vom angegebenen Literaturwert ab, diese qualitative Beobachtung lässt sich durch bilden der relativen Abweichung  $\Delta_r L = \frac{|L - L_{lit}|}{L_{lit}} \approx 0,007 = 0,7 \%$  quantifizieren. Dies hohe Genauigkeit zeigt, dass die Messung in diesem Teilversuch quasi ohne systematische oder grobe Fehler erfolgte. Es sei jedoch darauf hingewiesen, dass diese hohe Maß an Übereinstimmung nur für die zwölf verwendeten und nicht für alle 32 aufgenommen Messwertpaare gilt, da gerade die Messwerte mit den geringsten Abweichungen zur Regressionsgerade für die Auswertung verwendet wurden.

Aus der hohen Genauigkeit der gemittelten Verdampfungswärme lässt sich darauf schließen, dass auch die in Unterabschnitt 5.2 bestimmte innere Verdampfungswärme  $L_i$  eine entsprechend oder zumindest vergleichbar hohe Übereinstimmung mit der Realität zeigt.

Die in Unterabschnitt 5.3 bestimmte Temperaturabhängigkeit der Verdampfungswärme stellt ein Polynom zweiten Grades, eine nach oben geöffnete Parabel dar. Diese stellt für hohe Temperaturen  $T > 375 \text{ K}$  einen plausiblen Verlauf dar, verliert jedoch an Plausibilität für geringere Temperaturen, da ein Ansteigen der Verdampfungswärme sowohl für größere als auch für geringere Temperaturen nicht realistisch ist. Der Verlauf in Form eines Polynoms zweiten Grades lässt sich durch die Bestimmung des Differentialquotienten  $\frac{dp}{dT}$  durch Differentiation des Regressionspolynoms dritten Grades aus Abbildung 2 erklären.

Zusammenfassend lässt sich sagen, dass die in diesem Versuch vorgenommenen Messungen eine, im Vergleich zur Literatur, geringe Abweichung aufwiesen, wodurch auf eine allgemein niedrige Fehleranfälligkeit des Versuchs zuschließen ist.

---

<sup>②</sup>Berechnet aus den molaren Massen der Komponenten [1]

## Literatur

- [1] Horst Kuchling. *Taschenbuch der Physik*. Bd. 19. Fachbuchverlag Leipzig im Carl Hanser Verlag München, 2007.
- [2] *SciPy*. URL: <http://docs.scipy.org/doc/>.